

釜房湖における溶存酸素消失過程の現象論的考察

東北大学工学部 平田 強
佐藤敦久

1. はじめに

上水道水源として利用される湖沼等の静水域における水質問題は単なる視覚問題のみならず、よりよい水質の水を廉価で供給する使命を有する上水道関係者にとっては、処理水質の質的低下と処理コストの上昇の点とも重要な関心事である。

昭和45年に仙台市圈の木がメとして釜房ダムの築造により形成された多目的ダム湖である釜房湖は、昭和46年から夏季成層期において下層部の溶存酸素の消失とそれに伴なう底泥からの鉄・マンガンの溶出が認められており¹⁾、程度の差はあるものの毎年この現象が繰り返されるようになっている。

夏季成層期には水体の安定性の故に中・下層への溶存酸素の供給がないため、通常は中・下層の溶存酸素は減少の一途をたどることとなり、さらに、そのあとに硝酸イオンの還元、硫酸イオンの還元が続き、還元的性状化に伴なって鉄・マンガン等の酸化還元性金属の溶出があこることを考慮すると、酸素消失の要因とその速度を現象的に把握する必要が生じて来る。

本研究では、このよみがけ具から釜房湖の夏季成層期における溶存酸素の消失要因を湖水中に存在するものと底泥-水界面にあるものの2者に分け、それぞれ調査および実験を行なった。

2. 釜房湖・流域諸元

釜房湖は図-1に示すように三本の流入河川を有し、それぞれ太郎川、北川、前川と称される。湖全流域は約200km²で流域内に約9000人の居住者がいる。このた め各河川はそれぞれの流域条件に応じて異なり水質を示す。これらの地理的諸元を表-1に、河川別の年平均水質を表-2に示す。

また、ダムの最高水位は150.6m(このときの貯水量V=4530万m³)、最低水位は133m(V=600万m³)であるが、洪水期(7月1日~9月30日)には水位を143.8m(V=2400万m³)以下に制限する。さらに多目的に利用するため取水口の高さが異なり、そのE.L.(標高)は次のようになっている。

- ・10m³/sec以上の放流 杏口中心 = 125.2m
- ・10m³/sec以下の放流 } 表面水位 - 3 ± 0.15m
- ・発電、かんがい } 注意の高さ = 調査時水深 - 3 ± 0.15m
- ・上水道 今回の調査期間中は 138.0m



図-1 釜房湖形状図

表-1 釜房湖流域諸元

	流域面積 km ²	山林 km ²	田 km ²	畠 km ²	宅地 km ²	その他 km ²	牛頭	豚頭	人口
太郎川流域	38.0	35.5	1.2	1.0	0.2	0.1	236	145	427
北川	77.5	71.6	1.7	3.3	0.6	0.3	1138		1430
前川	64.8	50.8	9.3	2.9	1.4	0.4	951	655	6236
湖底面	15.8	9.4	0.8	0.6	0.3	4.7	529		658
計	196.1	167.3	13.0	7.8	2.5	5.5	2854	800	8751

表-2 釜房湖水系水質 (昭和49年平均値)

	濁度	BOD mg/l	COD mg/l	無機N mg/l	PO ₄ -P μg/l
太郎川	13.3	0.56	1.71	0.17	4.3
北川	10.6	0.62	1.21	0.32	6.8
前川	34.7	0.86	2.01	0.57	13.5
湖表層	4.8	1.57	1.50	0.30	3.1
湖底層	34.1	0.96	1.66	0.38	3.9
流水	10.9	0.92	1.32	0.33	3.6

3. 調査および実験方法

i) 湖内水温、溶存酸素垂直分布

湖内最大水深を有する地臭を観測地臭とし、木深1m毎に水温はサーミスタ温度計、溶存酸素はウイックラー法アシ化ナトリウム変法により測定した。また溶存酸素測定用塗水。採取は北原式採水器を使用した。

ii) 湖水の保有する酸素消費能

水温、溶存酸素垂直分布の測定の際、適当な深さで湖水を採取し、これを現場でふらんビンに満たし実験室に持ち帰りてあと20℃、暗所に保存し適当な時間間隔毎にふらんビン中の溶存酸素を測定した。得られた結果を整理して初期酸素消費速度を算出した。

iii) 底泥の酸素消費能

最大水深部より底泥をエクマニアージ型採水器により採取し、底泥に関しては固分式、底泥上の水に関するほぼ完全混合型の連続式実験装置に入れ実験を行ない、流入、流出水中の溶存酸素濃度を測定しその收支から底泥による酸素消費速度 R_b ($g O_2/m^2/\text{日}$) を算出した。なお、底泥の圧密率による間隙水の上昇による影響を避けるために実験槽に入れた後、約1ヶ月の安定期間をとった。

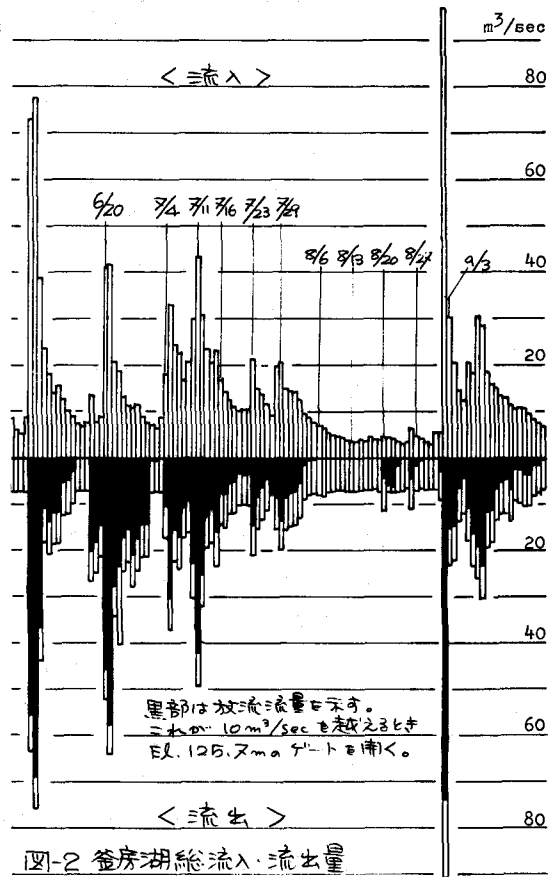
4. 調査および実験結果

本調査の主たる対象期中の笠房湖への総流入量と湖からの流出量の日平均値(m^3/sec)を図-2に示す。

i) 水温・溶存酸素垂直分布

湖内最大水深を有する地臭の水温、溶存酸素の垂直分布を各測定日毎に図-3に示す。図-3に示されるようく6月20日から又6月16日までは水温、溶存酸素とも全体の分布形状は似かよってはいるが中層部の値は全体的に動いており、またEL(標高)120m以下に存在する水温躍層の形状も観測日によりかなり異なることがわかる。さらに、中層部において水温が上昇すると溶存酸素は減少し、逆に水温が下降すると溶存酸素は増加する。この挙動は溶存酸素が飽和値に近い値をとっている河川の水温と溶存酸素の挙動に一致するものであり、湖水と流入水との交換現象を表していると考えられる。さらにまた、この時期の流入・流出量は図-2に示されるように量的に大きく、かつEL. 125. 2mの放流口からの流出量が非常に大きいことからも中層部の水温・溶存酸素の変動は水体の交換作用によるものと推定される。

一方、又6月16日以降は水温分布に表層での昇温傾向がみられるが、中層部はほとんど動きず安定しており、又6月16日にEL. 112m以下に形成された高温部側に偏った水温躍層は時間の経過とともに順次なめらかなくD型曲線へと移行していく。この時期には図-2に示されるように流入・流出水量が比較的小さく(最大でも貯水量の2%/日以下)、かつEL. 125. 2mからの流出量もほとんどない。この時期の溶存酸素の垂直分布は下層から順次減少を示し無酸素層が拡大されていく。このような状況が



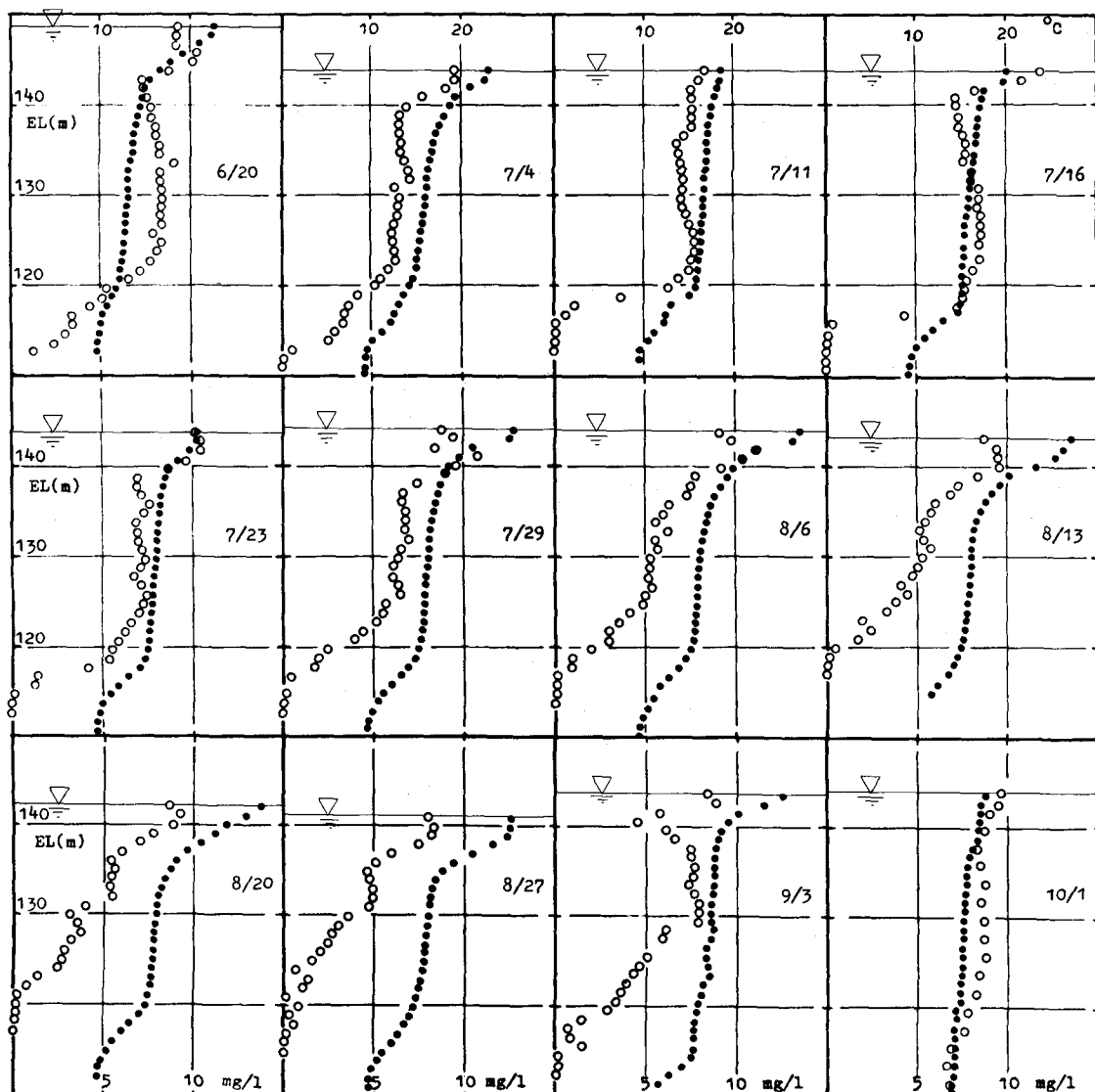


図-3 各観測日時の水温・溶存酸素垂直分布

8月23日まで概況。

9月3日には水温・溶存酸素ともその前回(8月23日)とは大きく異なった分布となっており、水温は表層を除いて全体的に上昇、溶存酸素も中層で大きく増加しており、9月2,3日の大量流入・流出(図-2)からも推定されるように大規模な交換現象が生じたものと推測される。このうち水温の低下に伴なって循環期に入り、上下へ均一化に向かうものと考えられる。

上述のように夏季成層期においては、溶存酸素の減少に着目すべき、流入・流出水量が小となり最も重要な年であり、大量の流入は溶存酸素レベルを相対的に回復させる。そこで流入・流出水量の小さく、水温分布の安定な時期である8月16日から8月23日までの各日、における溶存酸素濃度を実測分布から推定し、これを時間に対してプロットすると、下層部では直線関係が得られるため、これを直線とみなし最小自乗法によりその勾配を求めた。この勾配($mg/l/day$)をみかけの減少係数と称し、その垂直分布を図-6中に示した[○印]。

ii) 湖水の保有する酸素消費能

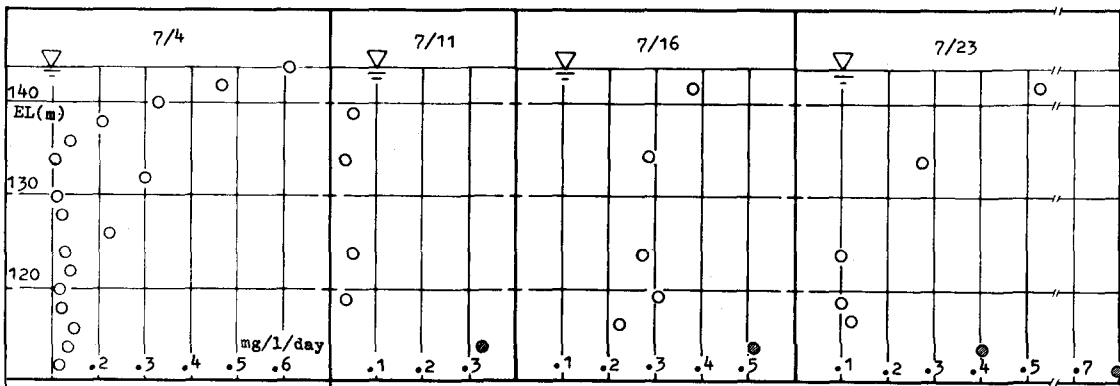
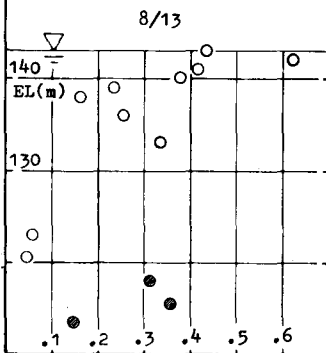


図-4. 三湖水の表層月別溶存酸素消費速度分布

○印は三湖水中の溶存酸素消失のために酸素消費物質の蓄積が想定されるものである。



湖水中の溶存酸素の減少の一因として、水中に存在する有機物等による酸素消費(BOD 物質による消費)がある。これを実験的に評価するために適当な深さ毎に湖水を採取し、 20°C 、暗所での BOD からんびん中の溶存酸素の減少曲線を求めた。ほとんどの場合、 BOD は 2 mg/l 以下であり、相対的にばらつきが大きいため反応式を定めるのが困難ではあるが、ニードル-一次反応式に従うものとし、モーメント法により整理した。得られた反応速度定数(k_r)と初期酸素消費物質濃度(L_0)は共に大きくならつきを示すため、初期酸素消費速度($k_r \cdot L_0$)を評価した。これを図-5に示す。なお、本実験は 20°C の結果であるので、これを温度補正係数 $\theta = 1.05 / {}^{\circ}\text{C}$ を用いて現場の水温に補正した。全体に表面で高く、深度を増すにつれて減少するが7月11日以降のものは最下層付近での増大が認められる。

iii) 底泥の酸素消費能

湖沼の富栄養化の蓄積型の要素の一つとして底泥がある。湖表層で顯著な光合成生物による生産は比較的よく認められた有機物集塊の生産でもあり、湖沼のふうな静水体ではその一部が沈降堆積し底泥の構成要素となる。底泥上では上部の水が好気的であれば表面が好気的分解過程が進行するが、底泥内部は常に嫌気的であり底泥内部で生成された酸素消費物質は表面に向かって上昇し、酸素と出会い酸化される。したがって底泥は水中の溶存酸素濃度に影響を及ぼし得る。この影響力を上部の水が好気的である状態で評価するためには、3. iii) に示す方法で実験を行なった。得られた消費速度 [$\text{g O}_2/\text{m}^2/\text{日}$] をそのときの槽内の溶存酸素濃度に対しプロットしたのが図-5である。図-5に示されるように槽内の溶存酸素濃度が 2 mg/l 以上存在すれば底泥-水面での酸素消費速度はほぼ一定であり濃度に依存しないことがわかる。しかし、採取時期の異なる底泥ではその値に大きな開きがあり、本実験はエクマン-バージ型採泥器で表面から約 10 cm までのものを採取し混合して反応槽に入れため、底泥の再構築、特に表面状態の再現に大きな問題がある。したがって、この結果から直ちに現場を推定することは無理があるが酸素消費速度の値は $0.5 \sim 1.0 \text{ g O}_2/\text{m}^2/\text{日}$ のオーダーにあるものと考えられる。

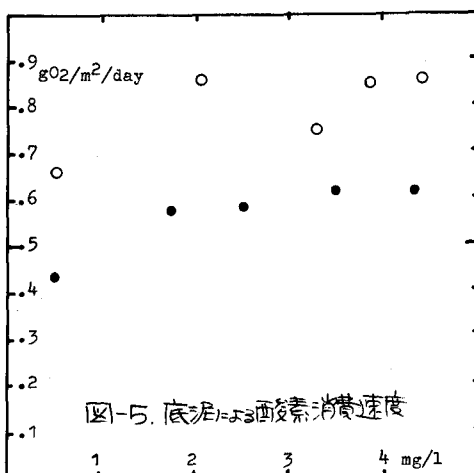


図-5. 底泥による酸素消費速度

5. 考察

湖沼等における溶存酸素の消失問題において、単に溶存酸素の消失が重要であるのではなく、酸素を消失させるような水質になるといふことは、酸素の消失に伴なって水体が嫌気的となり嫌気的微生物群による各種の反応が大規模に生じ水質が著しく劣化するこれが重要な点である。周知のように、温帯湖においてはその気候的変化に応じて春季循環期、夏季成層期、秋季循環期、冬季(逆流)成層期の混合、成層を経り可かが、夏季は水温も高く、したがって生物による生産も速く、各種の生物反応も速いため水質汚濁現象が最もよく示される時期であるといえる。本湖においては、冬期の結果がほとんどみられない。したがって秋季循環期から春季循環期の間は成層化はほとんど生せず、常に循環期的性状を示し、各水質項目も全層ほどとんど均一である。したがって、1年の周期の中で最も水質劣化の生じやすい時期は成層化が著しくかつ水温の高い夏季成層期であり、湖の形成後行なわれた木質調査結果によると、9月の底層水の嫌気化が毎年記録されておりニヒムラモ夏季成層期の水質問題が重要なとなる。

夏季成層期には、表層で植物性プランクトンによる光合成が行なわれるため表層の溶存酸素は常に飽和または過飽和となっておりこれが多いため、中・下層では表層で生産されたプランクトンの死骸等が有機性粒子として沈降するため(わゆる自らの物質の供給が行なわれる)これが原因である。一方、表層に高濃度で存在する溶存酸素は底层に移行するため、中・下層の溶存酸素は消失する一方であり、溶存酸素に富んだ大量の系入水による交換が行なわれない限りこの消失が続く。本湖においてはこの溶存酸素の減少が各段階においてみかけ上0次反応的であることがから、単位時間あたりの各ELにおいて溶存酸素の減少速度が一定であるとして整理し、その垂直分布を得た(図-6中に○印が示す)。この減少係数はEL. 138m付近でほぼ0となり、それより下層では深さが増大するにつれて減少係数も増加を示しており、対象期間中、湖からの流出高さ(土木道はEL. 138m、発電基は141~138m)附近において卓越する流れが存在するに假定すればEL. 138m付近の溶存酸素がみかけ上減少しないことが説明される。

この溶存酸素の減少に影響を及ぼす要因のうち、真の消費によるものとして(1)湖水中に含まれるBODの消費等によるものと(2)底泥-水界面での反応によるものの二者を考え、それを水位別に実験的に評価を行なった(図-6, 7)。湖水中に含まれる物質によるものの、ある持続時間における消費速度は図-4に示すようなものとして得られた。この調査で得られた消費速度(mg/L day)の値はどの消費を行なう物質の由来(たとえば流入水)によるもの、湖内の生産によるもの、底泥から溶出して来たもの等)については一切明らかにされず、單にその水体が門類系に移行されたときの溶存酸素の初期減少速度を意味するにすぎない。しかし、成層型貯水池等の表面での植物性プランクトンによる生産が栄養塩の供給との関連で夏季には比較的小なく安定であるが、好漁期間中の成層状態が極めて不安定であることが、それに流入・流出水量が少く安定であることを考慮すると、全体の R.L. の分布は時間によりそれほど大きく変化しないと考えられる。そのため、 R.L. の垂直分布を全体的に評価するために、各段階において全調査日のデータを算術平均し、さらに上・下層が平均化し平均化した。その際、嫌気化によつて底泥から溶出して来た酸素消費物質が蓄積されていくと想定される層のデータ(図-4中○印のもの)は全て除外した。その結果を図-6中に示す([●]FP)。図に示されるように表層で非常に高く、EL. 135m以下ではほぼ一定となる垂直分布が得られ、中・下層においては0.1~0.2 mg/L/day程度の消費が行なわれていくと推測される。

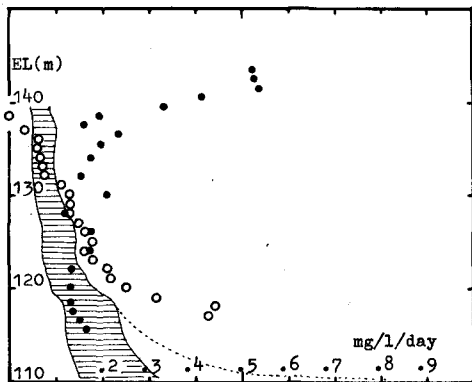


図-6. 各速度の比較

○はみかけの減少係数、●は湖水の溶存酸素消費速度を、■は底泥-水界面における酸素消費速度を水位方向にのみで与えたものにて算出した。

一方、底泥による酸素の消費速度は実験結果より $0.5 \sim 1.0 \text{ g O}_2/m^2/\text{日}$ のオーダーにあるものと推定され、これが二つの水体に及ぼす影響を上述の R_c と相対的に比較するために、底泥による影響が水平方向の水体にのみ及び、かつ水平面内で均一であるとして、各 E_L における底泥による水体の酸素消費速度 (R_m) を次式により算出した。

$$R_m = R_c \cdot \frac{S_m}{E_L}$$

R_c : 単位底泥面積あたりの酸素消費速度
 S_m : 底泥面積 ($=$ 基面面積)

$$R_3 = R_c \cdot \frac{S_3}{V_3}$$

R_c : 単位床面積あたりの商業消費速度

S_m : $EEL_m - \frac{1}{2}(m)$ と $EEL_{m+1} + \frac{1}{2}(m)$ との底泥面積（＝港水面積差）

卷之三

その範囲を図-6中に示す(横軸により陰影をはした範囲)。図に示されるように底泥による消費は下層ほど大きくなる分布となり、二次層より下層では底泥による消費速度は湖水の保有する消費速度を越える。なお、上記の計算を行なうにあたり、 T_m 、 S_m の値は蓋房ダム建設の際の航空測量により得られた値を用いた。しかし現在では底泥の堆積が最大水深部で2~3 mの厚さとなつており、補正が必要であるが、測定値がほとんどないため船上から探水器を用いて測定した数回の結果にもとづいて推定し、 $R_c = 1.0 \text{ g O}_2/\text{m}^2/\text{日}$ についてこのみ再計算を行なった。これを図-6中に示す。

以上述べておいたように、湖水中の酸素減少の要因として二つの消費因子を想定しておなじく実験的に評価した。その結果、EL 120 m 以下では底泥の効果が主なる消費要因であり、それより上層では湖水中に含まれる BOD 物質による消費がかなり大きくなりうるといわれた。しかし、EL 124 m 以上では k.L. の値がみかけの減少速度に等しいか、それ以上のぐれどがわかる。したがって、眞の消費よりもみかけの消費がかなり多く、この要因としては k.L. の実験的評価に含まれる大きな誤差があるが、よりメエに流入、流出とそれに伴なう湖水の運動が考えられ、今後、水質の評価とともに湖水の運動に關する水理的アプローチが必要である。

6. あかりに

おわりにあたって、本調査等を行なうにあたり、多大なる御協力、御便宜を賜わりました建設省東北地方建設局監査課管理官のすやに深く感謝いたします。また、探水、探泥等に助力をいたなった本学文部技官熊谷幸博士、本学大学院生今野弘氏、ふふび当時本学四年生である清野良平、品川信之両氏に感謝の意を表します。

参考文献

- ・ 築房ダム管理所・財团法人建設工学研究振興会 築房ダム木質調査報告書 昭和46~51年度

・ 築房湖木質化処理可否調査報告書 昭和50年3月

・ 築房湖木質汚濁構造調査報告書 昭和51年3月

・ Bella D.A. "Dissolved Oxygen Variations in Stratified Lakes" ASCE, SA, 1970

・ Fillos J. and Molof "Effect of Benthal Deposits on Oxygen and Nutrient Economy of Flowing Waters" J. WPCF vol.44, no.4, 1972

・ McDonell A.J. and S. D. Hall "Effect of Environmental Factors on Benthal Oxygen Uptake" The Industrial Waste Conference, Purdue Univ. 1972

・ Smith S.A. and D.A. Bella "Dissolved Oxygen and Temperature in a Stratified Lake" J.WPCF, vol.45, 1973